

ВЛИЯНИЕ ЭФФЕКТОВ ЛОКАЛИЗАЦИИ И КОРРЕЛЯЦИЙ В РАССЕЯНИИ НА ПРОВОДИМОСТЬ В УЛЬТРАКВАНТОВОМ ПРЕДЕЛЕ

С. С. Мурзин

На основе полуклассического описания рассмотрено движение электрона в вырожденном полупроводнике, помещенном в сильное магнитное поле. Учтены эффекты локализации и корреляции в рассеянии. Найдены проводимости вдоль σ_{\parallel} и поперек σ_{\perp} магнитного поля при низкой температуре.

До недавнего времени при изучении проводимости полуметаллов и полупроводников в ультраквантовом пределе учитывались только влияние магнитного поля \mathbf{H} на траектории движения, спектр и характеристики независимых друг от друга актов рассеяния электронов^{1, 2}. В последние годы стало ясно, что поскольку в ультраквантовом пределе движение электронов близко к одномерному, необходимо учитывать также локализационные (интерференционные) эффекты³. Кроме того, из работ⁴⁻⁶ следует, что, если магнитная длина λ много меньше радиуса экранирования примесей d , то нельзя считать все акты рассеяния независимыми. Корреляции обусловлены тем, что электрон много раз возвращается в поле одной примеси, слабо смещаясь поперек \mathbf{H} . Пролетая в поле этой примеси, он каждый раз будет дрейфовать в одном направлении до тех пор, пока не сместится на расстояние $\sim d$.

В настоящей работе получено выражение для σ_{\parallel} вырожденного некомпенсированного или слабо компенсированного полупроводника в ультраквантовом пределе в случае, когда локализационные эффекты важны, но температура $T \neq 0$ (ограничения на T будут оговорены ниже). С учетом многократных возвратов электрона в поле одной и той же примеси получена формула, связывающая σ_{\perp} и σ_{\parallel} : $\sigma_{\perp} \propto \sigma_{\parallel}^{-1/3}$, и по известной σ_{\parallel} найдена σ_{\perp} . Отметим, что соотношение между σ_{\perp} и σ_{\parallel} имеет более общий характер, чем выражения для σ_{\perp} и σ_{\parallel} . В частности, это соотношение справедливо и в классическом случае, рассмотренном в работе⁵, и в пунктах Б и Г работы⁶.

Будем считать, что $k_z \lambda \ll 1$, $k_z^2 \hbar^2 / 2m > e^2 / \epsilon N^{-1/3}$, где k_z — волновой вектор электрона вдоль \mathbf{H} , m — эффективная масса, N — концентрация ионизированных примесей, ϵ — диэлектрическая проницаемость кристаллической решетки. Из этих неравенств следует, что $\lambda \ll d$. Рассмотрим движение электрона на различных масштабах времени.

1. В течение времени τ_1 — времени пробега до рассеяния назад, электрон, двигаясь вдоль \mathbf{H} , рассеивается поперек магнитного поля на многих случайно расположенных примесях. Поэтому поперечное движение в течение этого времени имеет диффузионный характер, т.е. поперечное смещение $|\rho| \propto t^{1/2}$. Полное смещение за время τ_1 с точностью до логарифмических множителей равно

$$\rho_1 \sim (D_{\parallel} \tau_1)^{1/2} \sim \lambda^2 (k_z^2 + \frac{1}{4} d^{-2})^{1/2} \ll \lambda, \quad (1)$$

т.е. мало по сравнению с поперечным размером волновой функции электрона. Коэффициент диффузии D и τ_1 найдены в работе¹.

2. Если бы поперечное движение отсутствовало совсем, то в результате одномерности движения, электрон был бы локализован⁷ и вдоль \mathbf{H} . Движение поперек \mathbf{H} разрушает одномерную локализацию. Но, так как электрон слабо смещается поперек \mathbf{H} за время τ_1 , то, как показано в работе³, локализационные эффекты сильно влияют на σ_{\parallel} при $T = 0$.

Результат работы³ можно получить путем следующих качественных рассуждений. Так как радиус локализации в одномерном случае $\sim l = \hbar k_z \tau_1 / m$, то будем рассматривать электрон как волновой пакет длиной $\sim l$ и поперечными размерами λ . Под действием поперечной составляющей неоднородного электрического поля примесей такой волновой пакет будет смещаться поперек \mathbf{H} . На масштабах, меньших d , поперечное движение пакета близко к дрейфу

со скоростью¹⁾

$$v_x = \frac{c}{H} \int \psi^*(\mathbf{r}) E_y(\mathbf{r}) \psi(\mathbf{r}) d\mathbf{r} = \int_{-\infty}^{\infty} P(z) E_y(z) dz \sim c \frac{E_d}{H} P_1 d \cdot N_l^{1/2} \sim \frac{ceN^{1/2}}{\epsilon H l^{1/2}}, \quad (2)$$

где $\psi(\mathbf{r})$ – волновая функция электрона, $E_y = \sum_i \frac{ey_i}{\epsilon(r-r_i)^3} e^{-\frac{|r-r_i|}{d}}$ – электрическое поле примесей, $P(z) dz$ – вероятность обнаружить электрон в интервале dz , $E_d \sim e/\epsilon d^2$, $P_1 \sim l^{-1}$, $N_l \sim Nld^2$ – число примесей, с которыми одновременно взаимодействует волновой пакет.

При температуре $T=0$ вдоль \mathbf{H} электрон сместится на расстояние $\sim l$, когда в результате поперечного движения изменятся условия локализации, т.е. когда он сместится поперек \mathbf{H} на расстояние $\rho_{20} \sim \left(k_z^2 + \frac{1}{4} d^{-2}\right)^{-1/2}$. Соответствующее время с точностью до логарифмических множителей равно

$$\tau_{20} \sim \frac{\rho_{20}}{v_x} \sim \frac{\epsilon H l^{1/2}}{ceN^{1/2} \left(k_z^2 + \frac{1}{4} d^{-2}\right)^{1/2}} \sim \tau_1 \lambda^{-2} \left(k_z^2 + \frac{1}{4} d^{-2}\right)^{-1} \gg \tau_1. \quad (3)$$

Коэффициент диффузии вдоль \mathbf{H}

$$D \sim l^2 / \tau_{20} \sim (l^2 / \tau_1) \lambda^2 \left(k_z^2 + \frac{1}{4} d^{-2}\right), \quad (4)$$

а значит, и проводимость оказываются в $\lambda^{-2} \left(k_z^2 + \frac{1}{4} d^{-2}\right)^{-1}$ раз меньше, чем в обычной кинетической теории¹. В случае $k_z \gg d^{-1}$, рассмотренном в³, это с точностью до логарифмических множителей совпадает с результатом работы³. Однако неясно, можно ли считать этот результат окончательным, поэтому мы будем рассматривать лишь случай $T \neq 0$, когда время неупругого рассеяния $\tau_1 \ll \tau_{in} \ll \tau_{20}$.

Время τ_{in} – второе характерное время нашей задачи. В течение времени τ_{in} электрон практически локализован вдоль \mathbf{H} и дрейфует поперек \mathbf{H} . При $t > \tau_{in}$ и $kT > \hbar/\tau_1$ движение электрона вдоль \mathbf{H} происходит путем прыжков на длину $\sim l$ с частотой τ_{in}^{-1} . Коэффициент диффузии равен

$$D_{\parallel} \sim l^2 / \tau_{in}. \quad (5)$$

Для проводимости, используя соотношение Эйнштейна, получим

$$\sigma_{\parallel} \sim \frac{ne^2 \tau_1}{m} \frac{\tau_1}{\tau_{in}}. \quad (6)$$

3. Можно считать, что дрейфовый характер движения для $t < \tau_{in}$ имеет место в результате корреляции в рассеянии поперек \mathbf{H} . Электрон, движение которого вдоль \mathbf{H} ограничено областью размером l , по многу раз пролетает в поле каждой примеси в этой области. Причем в поле одной примеси он каждый раз дрейфует в одном направлении.

Корреляции в рассеянии следует учитывать и для $t > \tau_{in}$, так как за время τ_{in} электрон не успевает сместиться поперек \mathbf{H} на расстояние $\sim d$ ⁴⁻⁶. В этом случае средний квадрат смещения вдоль \mathbf{H} равен

$$\overline{x^2(t)} = \sum_i \frac{c^2}{H^2} \left\{ \int_0^t dt' \int_{-\infty}^{\infty} P(z, t') E_{iy}(z) dz \right\}^2 \sim \left(c \frac{E_d}{H} P_2 d \cdot t \right)^2 N_l \ln(d/\rho(t)) \sim$$

1) Более точно вместо (2) $\overline{v_x^2}^{1/2} \sim \frac{c}{H} \left\{ \int \left(\frac{e}{\rho(t)} \frac{\rho'}{\epsilon \rho^2} \right)^2 N l^2 \pi \rho' d\rho^2 \right\}^{1/2} \sim \frac{e c N^{1/2}}{\epsilon H l^{1/2}} \ln(d/\rho(t))$, (2)

где ρ' – расстояние между примесью и линией движения электрона вдоль \mathbf{H} , $\rho(t)$ – смещение электрона поперек \mathbf{H} за время t .

$$\sim \left(\frac{c e}{\epsilon H} \right)^2 N D_{\parallel}^{-1/2} t^{3/2} \ln(d/\rho(t)), \quad (7)$$

где $P(z, t) \sim (D_{\parallel} t)^{-1/2} \exp(-z^2/2D_{\parallel} t)$, E_{iy} — поле i -ой примеси, $P_2 \sim (D_{\parallel} t)^{-1/2}$, $N_t \sim N d^2 (D_{\parallel} t)^{1/2}$ — число примесей, с которыми электрон взаимодействует за время t ; $\rho(t) = [x^2(t) + y^2(t)]^{1/2}$; суммирование ведется по всем примесям. Из (7) видно, что для $x(t) \ll d$ движение имеет недиффузионный характер. Время, за которое электрон сместится поперек \mathbf{H} на d , треть характерное время нашей задачи, находится из условия $x^2(\tau_3) \sim d^2$, $\ln(d/\rho(\tau_3)) \sim 1$.

4. Для $t > \tau_3$ поперечное движение становится диффузионным. Коэффициент диффузии равен

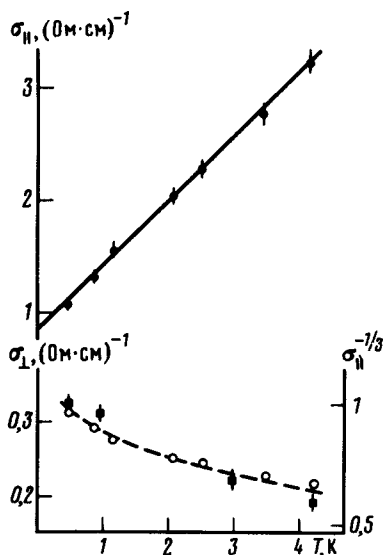
$$D_{\perp} = \frac{d^2}{\tau_3} = \alpha \left(\frac{e c}{\epsilon H} \right)^{4/3} N^{2/3} d^{2/3} D_{\parallel}^{-1/3}, \quad (8)$$

где $\alpha \sim 1$ — численный коэффициент. Проводимость вырожденного электронного газа поперек \mathbf{H} равна

$$\sigma_{\perp} = \alpha \left(\frac{e^3 c \partial n / \partial \mu}{\epsilon H} \right)^{4/3} N^{2/3} d^{2/3} \sigma_{\parallel}^{-1/3}, \quad (9)$$

где $\partial n / \partial \mu$ — плотность состояний на уровне Ферми. Локализационные эффекты учитываются в формулах (8) и (9) через D_{\parallel} и σ_{\parallel} . Из формул (6) и (9) следует, что по мере понижения температуры σ_{\parallel} уменьшается, а σ_{\perp} растет.

5. С ростом магнитного поля k_z^{-1} становится больше, чем дебаевский радиус экранирования $(\frac{4\pi e^2}{\epsilon} \frac{\partial n}{\partial \mu})^{-1/2}$ и потенциал примеси становится сильно анизотропным^{8,9}. Наше рассмотрение справедливо и в этом случае, если в (8) и (9) под d понимать радиус экранирования поперек \mathbf{H} .



Зависимость $\sigma_{\parallel} - \phi$, $\sigma_{\perp} - \phi$ и $\sigma_{\parallel}^{-1/3} - \phi$ от температуры в поле $H = 10$ кЭ. Образец $n\text{-Hg}_{0,79}\text{Cd}_{0,21}\text{Te}$ с концентрацией электронов $n = 2,7 \cdot 10^{14} \text{ см}^{-3}$. Построено по данным работы¹². Нули шкал для σ_{\perp} и $\sigma_{\parallel}^{-1/3}$ совпадают

6. Уменьшение σ_{\parallel} и рост σ_{\perp} при понижении температуры в ультраквантовом пределе наблюдались в $n\text{-InAs}$ при $T > 2$ К¹⁰. Возрастание σ_{\perp} при понижении температуры наблюдалось также в $n\text{-InSb}$ ¹¹. В интересующей нас области наиболее подробные данные, позволяющие построить температурные зависимости σ_{\perp} и σ_{\parallel} , получены на $n\text{-Hg}_{0,79}\text{Cd}_{0,21}\text{Te}$ с концентрацией электронов $n = 2,7 \cdot 10^{14} \text{ см}^{-3}$ в работе¹². Эти зависимости приведены на рисунке. Линейная зависимость σ_{\parallel} от T возможна, если τ_{in} определяется рассеянием на фононах с вол-

новым вектором $q_T \sim kT/\hbar s \gg \lambda^{-1}$. Поперечная проводимость растет при понижении температуры. Причем, как видно из рисунка, зависимость σ_{\perp} от T близка к зависимости $\sigma_{\parallel}^{-1/3}$ от T , т.е. выполнено соотношение $\sigma_{\perp} \propto \sigma_{\parallel}^{-1/3}$. Холловская проводимость $\sigma_H = 0,5$ (Ом · см)⁻¹ и от температуры практически не зависит.

Автор выражает благодарность за полезные обсуждения В.Ф.Гантмахеру, С.В.Мешкову, М.Р.Трунину и Д.Е.Хмельницкому.

Литература

1. Adams F., Holstein T. Journ. Phys. Chem. Solids, 1959, 10, 254.
2. Kubo R., Mijake S.M., Nashitsume N. Solid State Physics, 17, 269, New York and London, Academic Press.
3. Abrikosov A.A., Ryzhkin I.A. Adv. Phys., 1978, 27, 147.
4. Dreizin Yu.A., Dykhne A.M. Sixth European Conf. on Controlled fusion and Plasma Phys. Moscow, 1973, 1, 147.
5. Мурзин С.С. Письма в ЖЭТФ, 1984, 39, 567.
6. Поляков Д.Г. ЖЭТФ, 1986, 90, 546.
7. Березинский В.Л. ЖЭТФ, 1973, 65, 1251.
8. Horing N.J. Ann. Phys., 1969, 54, 405.
9. Шкловский Б.И., Эфрос А.Л. ЖЭТФ, 1973, 64, 2222.
10. Мурзин С.С. Письма в ЖЭТФ, 1986, 44, 45.
11. Ishida S., Otsuka E. J. Phys. Soc. Japan, 1977, 43, 124, Fig. 7.
12. Shayegan M., Goldman V.J., Drew H.D., Nelson D.A., Tedrow P.M. Phys. Rev. B, 1985, 32, 6952.